

УДК 537.311.322

© 1990

СВЯЗЬ КОМБИНИРОВАННОГО РЕЗОНАНСА В ПЛАСТИЧЕСКИ ДЕФОРМИРОВАННОМ КРЕМНИИ n -ТИПА С ДИСЛОКАЦИОННОЙ СТРУКТУРОЙ

В. В. Кведер, Т. Р. Мчедлидзе, Ю. А. Осипьян, А. И. Шалыгин

Исследованы зависимости сигнала комбинированного резонанса в пластически деформированном монокристалле кремния n -типа от условий деформации и последующего отжига. Сделаны предположения относительно конкретного типа дефектов, ответственных за сигнал. Приведены данные о влиянии на спектр комбинированного резонанса электрически нейтральных примесей. Показана возможность изучения некоторых особенностей структуры деформированного кремния при помощи метода комбинированного резонанса.

В работах [1-3] был обнаружен и исследован комбинированный резонанс (называемый также электродипольным спиновым резонансом (ЭДСР)) на электронах, захваченных в глубокую квазиодномерную электронную зону E_{ch} , которая обусловлена протяженными квазиодномерными дефектами, возникающими при пластической деформации кремния. Назовем эти дефекты пока условно Ch -дефектами.

Исследуя ЭДСР, удалось показать, что характерная длина локализации L -электронов в зоне E_{ch} вдоль направления Ch -дефектов превышает 300—1000 Å, а температурная зависимость электронной подвижности носит зонный характер [1-3]. Обнаружено также несколько эффектов, связанных с нелинейными членами в квазиодномерной проводимости и с перегревом квазиодномерных электронов. Было определено энергетическое положение зоны $E_{ch} = E_V + 0.7$ эВ. Исследование анизотропии сигнала ЭДСР (названного Ch -линией) показало, что после пластической деформации образцов сжатием вдоль направления [110] наблюдается единственная линия ЭДСР, соответствующая Ch -дефектам, ориентированном вдоль [110]. Однако оставалось непонятным, чему соответствуют Ch -дефекты.

Данная работа посвящена изучению особенностей генерации Ch -дефектов при пластической деформации кремния с целью идентификации этих дефектов. Приводятся также некоторые данные по взаимодействию этих дефектов с примесными атомами.

1. Приготовление образцов и методика измерений

В работе исследовались образцы кремния n -типа, выращенные методом бестигельной зонной плавки ($N_0 \approx 1 \cdot 10^{16}$ ат./см³) и методом Чохральского ($N_0 \approx 3 \cdot 10^{17}$ и 10^{18} ат./см³), с содержанием легирующей примеси (фосфора) $2 \cdot 10^{14}$ и $2 \cdot 10^{15}$ ат./см³.

Образцы деформировались при температурах от 650 до 850 °С. Применялись два режима пластической деформации: при постоянной скорости деформации и постоянной нагрузке. Скорости деформации составляли от 10^{-6} до $2.5 \cdot 10^{-4}$ с⁻¹, а нагрузки соответственно от 25 до 170 MNm⁻²

при различных температурах. Для упорядочения дислокационной структуры использовался режим больших нагрузок при низких температурах [4]. В этом случае после предварительной деформации при обычных режимах образец дополнительно деформировался на 0.1—0.15 % при $T = 420^\circ\text{C}$ и нагрузке 300—400 MNm⁻².

Стандартный отжиг деформированных образцов производился при 850 °C на воздухе в течение 30 мин для устранения ЭПР-активных оборванных связей в ядрах дислокаций [5-7]. В ряде случаев использовались другие режимы отжига.

Регистрация ЭДСР заключалась в измерении резонансного изменения диэлектрической проницаемости образца $\epsilon = \epsilon' + i\epsilon''$ на частоте $\omega/2\pi = 9200$ МГц в условиях спинового резонанса $\hbar\omega = g\mu_B H_0$. Образец помещался в максимум электрического поля E_1 СВЧ резонатора, и прикладывалось статическое магнитное поле H_0 . Для увеличения чувствительности применялись модуляция H_0 на частоте 80 Гц с амплитудой 0.1 Э и синхронное детектирование, что позволяло регистрировать спектры $\partial\epsilon'/\partial H_0$ и $\partial\epsilon''/\partial H_0$. Обычно образец устанавливался в ориентации $E_1 \parallel [1\bar{1}0]$ и $H_0 \parallel [001]$, что соответствует максимальной амплитуде Ch -линии [1, 2]. Все измерения проводились при температуре 1.4 К.

Интенсивность Ch -линии при данной температуре T зависит не только от числа электронов N_I , захваченных на Ch -дефекты, но и от длины локализации электронов L и их подвижности μ в одномерной зоне E_{Ch} [2, 3]. При изменении условий деформации могут изменяться не только N_I , но и параметры L и μ . Для того чтобы оценить N_I , из интенсивности Ch -линии необходимо исключить влияние L и μ . Это можно сделать, если проводить измерения интенсивности Ch -линии при сильном насыщении спиновой системы. Нетрудно показать исходя из формул, приведенных в [3], что в этих условиях СВЧ мощность $P_{полг}$, поглощаемая образцом при резонансе, будет пропорциональна N_I/τ_1 , где τ_1 — время спиной решеточной релаксации. Измерения интенсивности Ch -линии производились по отношению к сигналу ЭПР-парамагнитного эталона.

2. Экспериментальные результаты и их обсуждение

Идентификация Ch -дефектов. Прежде всего заметим, что большая длина локализации электронов вдоль Ch -дефектов и зонный характер температурной зависимости их подвижности говорят о наличии трансляционной симметрии на значительных участках Ch -дефектов. Учитывая их одномерный характер и тот факт, что все они расположены точно вдоль направления $[1\bar{1}0]$, разумно предположить, что Ch -дефекты соответствуют бездефектным участкам ядер дислокаций одного из типов. Это подтверждается и чрезвычайно высокой термостабильностью Ch -дефектов. Действительно, практически все кластеры точечных дефектов исчезают после отжига при 900 °C в течение 30 мин [8]. Наши эксперименты по отжигу образцов бестигельного кремния показали, что интенсивность Ch -линии не меняется после отжига при 900 °C и начинает заметно падать лишь после отжига при 1100—1200 °C, когда наблюдаются уменьшение плотности дислокаций и изменение дислокационной структуры. Полученное нами значение энергии активации отжига для Ch -дефектов составляет ≈ 2 эВ.

Наличие лишь одной линии ЭДСР после деформации кристалла указывает на специфические свойства дислокаций, дающих вклад в комбинированный резонанс. Действительно, при деформации кристалла кремния вдоль направления $[110]$ одинаково работают две плоскости скольжения (111) и ($\bar{1}\bar{1}\bar{1}$) и дислокации возникают в пяти направлениях типа $\langle 110 \rangle$; следовательно, можно было бы ожидать появления пяти линий в спектре ЭДСР. Можно предложить два варианта объяснения факта существования лишь одной линии: во-первых, 60° дислокации, лежащие

вдоль [110], гораздо менее дефектны, чем дислокации, лежащие в остальных направлениях; во-вторых, вклад в ЭДСР дают специфические дислокации, являющиеся результатом межплоскостных дислокационных реакций. Такими дислокациями могут быть, например, дислокации Ломера [9, 10].

Если причиной отсутствия других линий в спектре ЭДСР является разница в дефектности дислокаций, то при помощи методики низкотемпературной деформации при больших сдвиговых напряжениях можно попробовать получить одинаковые по дефектности дислокации во всех направлениях типа {110} [4] и ожидать появления других линий ЭДСР. В нашем случае низкотемпературная деформация, приводящая, согласно электронно-микроскопическим данным, к формированию правильных гексагональных петель прямолинейных дислокаций, не изменила спектра

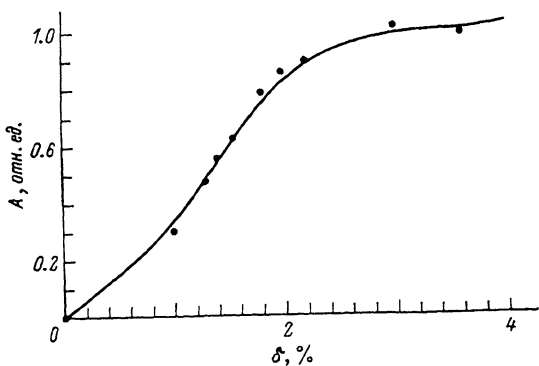


Рис. 1. Зависимость амплитуды *Ch*-линии *A* от степени деформации образцов δ .

$T_{\text{деф}} = 680^\circ\text{C}$, $\sigma = 12 \text{ кг/мм}^2$. Измерения проводились при сильном насыщении сигнала СВЧ мощностью, значения отнормированы на сигнал ЭПР-эталоны.

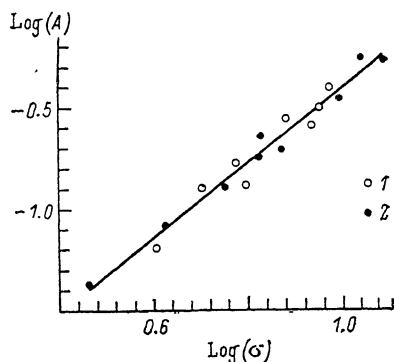


Рис. 2. Зависимость амплитуды *Ch*-линии *A* (отн. ед.) от значения действующей в процессе деформации нагрузки σ ($\text{кг}\cdot\text{мм}^{-2}$).

Измерения проводились при сильном насыщении сигнала СВЧ мощностью, значения отнормированы на сигнал ЭПР-эталоны. Условия деформации $680^\circ\text{C} < T_{\text{деф}} < 800^\circ\text{C}$. 1 — $\delta \approx 1\%$; 2 — данные для образцов с различной степенью деформации ($0.8\% < \delta < 2\%$), пересчитанные по кривой на рис. 1.

ЭДСР, т. е. не привела к появлению линий, соответствующих дислокациям в других ориентациях, что говорит в пользу второго варианта.

Значение дислокационных реакций для формирования *Ch*-дефектов можно оценить при помощи деформации образцов вдоль различных осей нагружения. Действительно, при деформации вдоль направления [123] преимущественно работает одна плоскость скольжения (111), в то время как дислокационные реакции между пересекающимися плоскостями скольжения интенсивней будут идти при равной работе обеих плоскостей (деформация вдоль [110]).

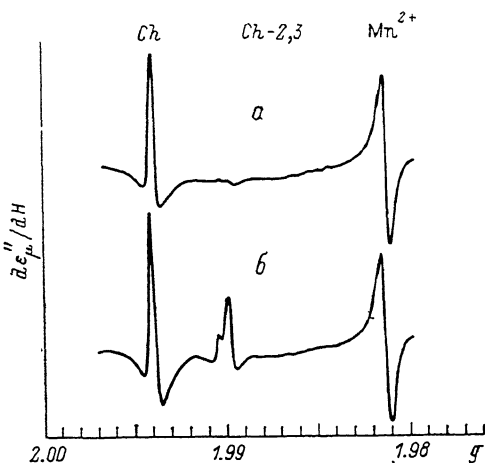
В этих экспериментах использовались образцы из одного слитка бесцветного кремния и деформация при температуре 700°C с последующим отжигом при 800°C . Суммарная деформация для случая оси сжатия [110] была в 1.3—1.4 раза меньше, чем в случае оси [123], для получения одинаковой плотности дислокаций ($N_v \approx 10^9 \text{ см}^{-3}$); сдвиговая нагрузка в случае оси [110] была в 1.2 раза меньше. Величина N_v в случае оси сжатия [110] получилась в два раза больше, чем для оси [123]. Этот результат хорошо коррелирует с электронно-микроскопическими измерениями количества дислокаций Ломера—Котрелла в деформированных сжатием вдоль [110] и [123] кристаллах кремния [11]. Заметим, что дислокации Ломера лежат вдоль пересечения активных плоскостей скольжения, что в случае сжатия вдоль [110] как раз соответствует направлению [110], вдоль которого лежат «*Ch*-дефекты».

Таким образом, *Ch*-линия скорее всего связана с дислокациями Ломера. Дополнительно в пользу этого утверждения свидетельствуют электронно-микроскопические исследования самих дислокаций Ломера—Коттрелла [12, 13]. Согласно [13], эти дислокации реконструированы и их ядра асимметричны относительно плоскости (001), что совпадает с требованиями, вытекающими из результатов работы [1]. Кроме того, дислокации Ломера—Коттрелла прямолинейны и их ядра малодофектны, что также согласуется с данными [2, 3].

Анализ образцов, продеформированных при одинаковых T и σ до разных δ (δ — степень деформации, σ — сдвиговая нагрузка), показал зависимость $N_l(\delta)$ (рис. 1). «Насыщение» кривой $N_l(\delta)$ при $\delta > 2\%$ можно объяснить следующим образом. При малой плотности дислокаций концентрация мелких химических доноров (10^{14} P/см³) достаточно велика, чтобы поддерживать положение уровня Ферми выше, чем зона E_{Ch} . В этих условиях величина N_l примерно пропорциональна плотности *Ch*-дефектов (т. е., по нашему предположению, дислокаций Ломера). При увеличении плотности дислокаций коэффи-

Рис. 3. Спектр ЭДСР образца деформированного CZ-Si ($T_{\text{деф}}=700^\circ\text{C}$, $\sigma=12$ кг/мм²) до (а) и после (б) отжига при 1000°C в течение 60 мин.

Справа виден ЭПР-сигнал от эталонного образца (4-я линия Mn^{2+} в MgO), расположенного в H_1 СВЧ-поле резонатора. Спектры сняты после засветки образца белым светом при 1.4 К.



циент заполнения дислокаций Ломера электронами падает за счет смещения вниз уровня Ферми, что и приводит к прекращению роста $N_l(\delta)$. Все дальнейшие измерения были сделаны на образцах с $\delta < 2\%$, когда можно было полагать, что N_l пропорционально плотности *Ch*-дефектов.

Анализ образцов, продеформированных при различных T , $d\delta/dt$ и σ до одной и той же степени деформации δ , показал, что увеличение $d\delta/dt$ ведет к увеличению N_l , а повышение температуры деформации — к уменьшению N_l . Однако зависимость для N_l от сдвиговой нагрузки, действующей в процессе деформации образца σ , носит универсальный характер. На рис. 2 приведены экспериментальные значения величины $N_l \sim A$ для образцов, продеформированных при различных $d\delta/dt$ и T , в зависимости от σ в двойном логарифмическом масштабе. Прямая на рис. 2 соответствует зависимости $N_l \sim \sigma^2$. Таким образом, в рамках концепции дислокаций Ломера—Коттрелла полученные результаты характеризуют вероятность рождения этих дислокаций в результате дислокационных реакций.

Влияние примесей. Исходя из общих соображений, увеличение концентрации легирующей и электрически нейтральной примеси должно уменьшать интенсивность *Ch*-линии прежде всего за счет уменьшения длины локализации электронов L в дислокационной зоне E_{Ch} вследствие того, что как в процессе деформации, так и при отжиге происходит диффузия примесей к дислокациям. Исследования показали, что в образцах с повышенным содержанием кислорода при одинаковых условиях деформации интенсивность *Ch*-линии существенно меньше (для образцов с $N_O \simeq 10^{16}$, $2 \cdot 10^{17}$ и 10^{18} ат./см³ отношение интенсивностей *Ch*-линии составляло соответственно $\simeq 1 : 0.2 : 0.1$). Для образцов с $N_P \simeq 2 \cdot 10^{15}$ ат./см³ *Ch*-линия наблюдалась до проведения процедуры отжига и практически исчезла после отжига в течение 1 ч при 850°C .

Эти эффекты выглядят довольно тривиально и не представляют самостоятельного интереса, но могут быть использованы для исследования процесса диффузии примесей к дислокациям. Однако высокотемпературный отжиг кислородосодержащих образцов приводит к принципиально новым результатам, представляющим, на наш взгляд, специальный интерес.

При отжиге образцов с содержанием кислорода $N_0 > 10^{17}$ ат./см³ при $T=1000$ °С в течение 60 мин появляются дополнительные линии в спектре ЭДСР (рис. 3). Исследования анизотропии интенсивности и g -фактора этих линий (назовем их $Ch-2$ и $Ch-3$) при различных взаимных ориентациях полей E_1 , H_0 и оси вращения образца дают основание утверждать, что дислокации, ответственные за их появление, также расположены в направлении $[1\bar{1}0]$ и главные оси g -тензора этих линий очень близки к направлению главных осей g -тензора для Ch -линии. В образцах бестигельного кремния аналогичные линии также появляются после более

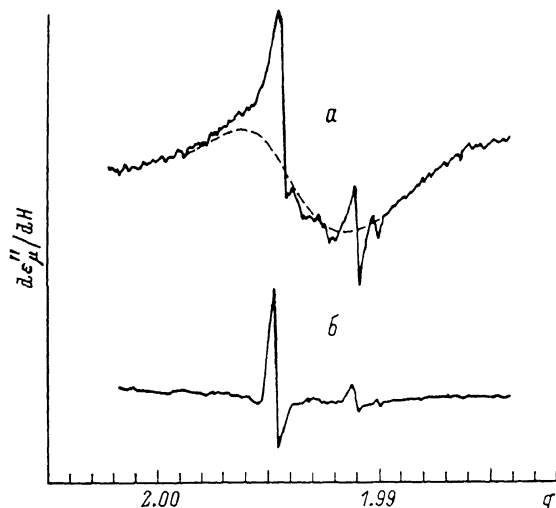


Рис. 4. Спектр ЭДСР образца CZ-Si, деформированного при 825 °С ($\sigma=8$ кг/мм², $\delta=1.2$ %), до (а) и после (б) засветки образца белым светом в резонаторе.

а: коэффициент усиления установки больше в три раза.

длительного отжига, однако их интенсивность меньше в 10—15 раз. Появление линий $Ch-2$, 3, на наш взгляд, естественно связать с диффузией атомов электрически нейтральной примеси к дислокациям. Продиффундировавший кислород (или другая плохо контролируемая примесь, например углерод) может изменить величину кристаллического поля, а соответственно и значения g -тензора. Процесс диффузии атомов кислорода к дислокациям рассмотрен в [14, 15]. Согласно этим результатам, интенсивный процесс диффузии начинается при $T > 900$ °С, что коррелирует с появлением дополнительных линий ЭДСР. Поскольку параметры новых линий ЭДСР близки к параметрам Ch -линии, можно утверждать, что длина локализации электронов на участках дислокаций, соответствующих этим новым линиям, также очень велика и составляет сотни ангстрем. Это означает, что после высокотемпературного отжига появляются участки дислокаций Ломера, вблизи (или на) которых кислород располагается не случайным, а регулярным образом.

Согласно [14, 15], кислородосодержащие преципитаты должны растворяться в матрице при температуре 1200 °С в течение 15 мин. Однако в нашем случае аналогичный отжиг с последующей закалкой образцов в жидком азоте не изменил соотношения интенсивностей между исходной Ch -линией и линиями $Ch-2$, 3. Можно предположить, что термостабильность кислородных кластеров на дислокациях Ломера несколько выше, чем в случае частичных дислокаций обычного типа.

Деформация образцов с большим содержанием кислорода при высокой температуре ($T > 750$ °С) также приводит к появлению линий $Ch-2$, 3. Кроме того, возникает еще одна линия (будем называть ее $Ch-F$) шириной 9—10 Э. На рис. 4, а линия $Ch-F$ показана штрихами. Видны также линии Ch , $Ch-2$, 3; различие в форме с аналогичными линиями рис. 3 объясняется тем, что в последнем случае спектр снят до засветки образца бе-

лым светом [2, 3]. На рис. 5 представлена зависимость амплитуд линий $Ch-F$ и Ch от температуры деформации образцов (образцы деформировались при $\sigma \approx 8$ кг/мм², $\delta \approx 2$ %). После засветки образца белым светом при $T=1.4$ К линия $Ch-F$ полностью исчезает (рис. 4, б), что говорит о другой энергетике центров, ответственных за эту линию.

Несомненно, что для однозначного выяснения природы этих новых линий ЭДСР требуются дальнейшие исследования, в том числе при помощи электронной микроскопии высокого разрешения.

Можно считать установленным, что Ch -линия связана с дислокациями, возникающими в процессе пластической деформации кремния. Причем наиболее вероятно, что эти дислокации являются результатом реакций между дислокациями Шокли, движущимися в разных плоскостях скольжения. Все данные по влиянию различных режимов деформации и примесей на интенсивность сигнала ЭДСР непротиворечиво объясняются в предположении, что Ch -линия связана с дислокациями Ломера. В случае

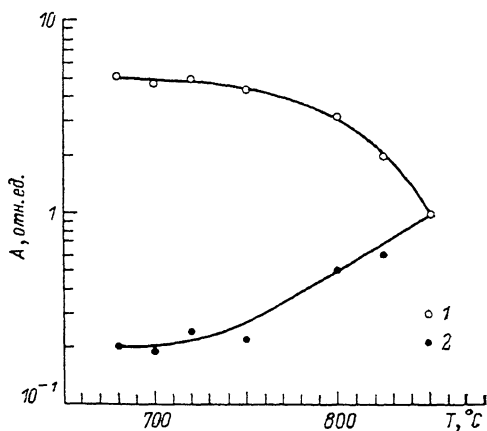


Рис. 5. Изменение амплитуды линий Ch (1) и $Ch-F$ (2) для образцов, продеформированных при различных температурах. $\sigma=8$ кг/мм².

Для $T_{деф}=850$ °С амплитуды линий получились равными.

подтверждения предлагаемой гипотезы исследования Ch -линии могут позволить изучать динамику возникновения дислокаций Ломера и их взаимодействие с примесями. Кроме того, полученные данные позволяют утверждать, что после высокотемпературного отжига кислородосодержащих образцов возникают довольно длинные участки дислокаций с регулярным расположением атомов примеси.

Список литературы

- [1] Кведер В. В., Кравченко В. Я., Мчедлидзе Т. Р., Осипьян Ю. А., Хмельницкий Д. Е., Шалыгин А. И. // Письма в ЖЭТФ. 1986. Т. 43. № 4. С. 202.
- [2] Кведер В. В., Мчедлидзе Т. Р., Осипьян Ю. А., Шалыгин А. И. // ЖЭТФ. 1987. Т. 93. № 4 (10). С. 1470—1489.
- [3] Кведер В. В., Кошелев А. Е., Мчедлидзе Т. Р., Осипьян Ю. А., Шалыгин А. И. // ЖЭТФ. 1989. Т. 95. № 1. С. 183—191.
- [4] Wessel K., Alexander H. // Philos. Mag. 1977. V. 35. N 6. P. 1523—1536.
- [5] Kveder V. V., Ossipyan Yu. A., Schröter W., Zoth G. // Phys. St. Sol. (a). 1982. V. 72. N 2. P. 701—713.
- [6] Jones R., Marklund S. // Phys. St. Sol. (b). 1980. V. 101. N 2. P. 585—589.
- [7] Золотухин М. Н., Кведер В. В., Осипьян Ю. А., Сагдеев И. Р. // ФТТ. 1984. Т. 26. № 5. С. 1412—1418.
- [8] Ионенана И., Сумино К. // Изв. АН СССР. 1987. Т. 51. № 9. С. 1485—1489.
- [9] Lomer W. M. // Philos. Mag. 1951. V. 42. N335. P. 1327—1331.
- [10] Cotrell A. H. // Philos. Mag. 1952. V. 43. N341. P. 645—647.
- [11] Kirscht F.-G., Dörschel J. // Phys. St. Sol. (a). 1980. V. 58. N 1. P. K5—K6.
- [12] Bourett A., Dessaux J., Renault A. // J. Microsc. Et Spectrosc. 1977. V. 5. N 2. P. 467—474.
- [13] Bourett A., Dessaux J., Renault A. // Philos. Mag. 1982. V. A45. N 1. P. 1—20.
- [14] Sumino K. // J. de Phys. 1983. Coll. c 4. V. 44. N 1. P. 195—205.
- [15] Bourret A. // Proc. 13 ICDS. Coronado. California, 1984. P. 129—131.